

InBO₃:Tb 형광체의 발광 특성

Luminescence of InBO₃:Tb Phosphor

이제혁¹, 이태희¹, 서광석^{1,a}, 류선운², 변재동²

(Je-Hyuk Lee¹, Tae-Hee Lee¹, Kwang-S. Suh^{1,a}, Sun-Yoon Ryu², and Jae-Dong Byun²)

Abstract

Emission characteristics of terbium-activated InBO₃ under cathode-ray(c.r.) and vacuum ultra violet(v.u.v.) irradiation have been investigated as a functions of norminal compositions and firing conditions. From the x-ray analysis, it was found that some of the synthesized samples contained excess In₂O₃ and the amount of the excess In₂O₃ varied with the norminal composition and heat treatment conditions. The samples with remanent excess In₂O₃ showed lower luminescence intensities than the ones free of excess In₂O₃. The phosphors of norminal composition of InBO₃+10 mol%B₂O₃:2 mol%Tb synthesized at 1250 °C showed excellent CL and PL properties.

Key Words : Phosphor, Tb, InBO₃, Luminescence

1. 서 론

Tb³⁺ ion은 가끔 $^5D_3 \rightarrow ^7F_j(j=0\sim6)$ 천이에 의한 청색 발광을 하지만 주로 $^5D_4 \rightarrow ^7F_5$ (550 nm 근방) 천이에 의한 강한 녹색 발광을 한다. 이 강한 녹색 발광 때문에 Tb³⁺ ion은 CRT Display 및 PDP(Plasma Display Panel)와 Fluorescent Lighting Application에 이용될 뿐만 아니라 고체소자를 이용한 레이저 시스템에서 발광 center로 써 쓰인다 [1-5].

Tb³⁺ ion을 Activator로 이용하는 형광체 중에서 현재 PRT(Projection Television)와 PDP에 사용되고 있는 것은 YBO₃:Tb이다[6]. 이 형광체는 전류 포화 특성이 좋고 VUV(Vacuum UltraViolet) Excitation에 의한 발광 효율이 높다. 이 형광체보다 더 우수한 전류 포화 특성을 가진 것으로 알려진 녹색 형광체는 InBO₃:Tb이다[6]. InBO₃:Tb 형광

체는 모체로부터 Activator로의 에너지 전달 과정에서의 변환 효율이 좋으며, 고온에서도 이 효율이 유지되고 또한 매우 우수한 전류 포화 특성을 지니고 있다[7]. 이러한 장점 때문에 PRT용 형광체로서 InBO₃:Tb 형광체의 사용 가능성이 보고되었으나 그 이후로는 이 형광체에 대한 연구 보고 사례가 없다[8]. 따라서 본 연구에서는 InBO₃:Tb 형광체를 좀 더 자세히 검토하고자 하였다. 모체의 조성 및 Activator의 함량과 열처리 과정에 따른 CL과 PL(VUV) 특성의 변화를 조사하여 PRT용 형광체로써의 사용 가능성과 PDP용 형광체로써의 활용 가능성을 대해서 조사하였다.

2. 실험 방법

본 실험에서 사용한 원료는 Aldrich chemical사의 In₂O₃(4N), H₃BO₃(4N) 및 Tb₄O₇(5N)이다. 마이크로 전자 저울을 사용하여 ± 0.1mg의 오차범위까지 평양한 원료분말을 Agate 유발에 넣어 에탄올 중에서 4시간 이상 혼합 및 분쇄한 후 충분히 건조시켰다. 건조된 시료를 Alumina Crucible에 담아서 1100 ~ 1400 °C에서 4시간 동안 열처리하여 형광체를 합성하였다.

1. 고려대학교 재료공학과

(서울시 성북구 안암동 5가 1)

2. 선문대학교 재료시스템공학과

a. Corresponding Author : suhkwang@korea.ac.kr

접수일자 : 2005. 10. 18

1차 심사 : 2006. 4. 3

2차 심사 : 2006. 6. 14

심사완료 : 2006. 6. 28

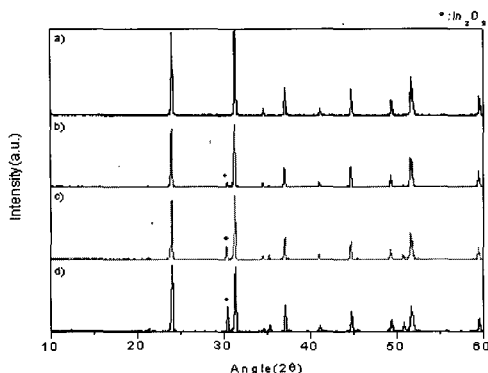


그림 1. $\text{InBO}_3 + 5 \text{ mol\%B}_2\text{O}_3 : 2 \text{ mol\%Tb}$ 을 (a) 1100°C , (b) 1200°C , (c) 1300°C , (d) 1400°C 에서 4시간 열처리한 시료의 x-선 회절 패턴.

Fig. 1. X-ray diffraction patterns of $\text{InBO}_3 + 5 \text{ mol\%B}_2\text{O}_3 : 2 \text{ mol\%Tb}$ fired at (a) 1100°C , (b) 1200°C , (c) 1300°C , (d) 1400°C for 4 hrs.

X-선 회절 분석에는 Rigaku사의 D/Max-Rc을 사용하였고 Joint Committee on Powder Diffraction Standards (JCPDS)의 powder diffraction file을 참조하였다. VUV PL 특성은 자체 조립한 VUV 스펙트로미터로 측정하였다. 여기에 이용된 장비는 Hamamatli사의 deutrium lamp, ARC사의 mirror 와 grating part, home made chamber, Pfeiffer사 pump. ARC사의 mono-chromator이며 PL measuring에는 Lishio사의 lamp, home made chamber, Pfeiffer사의 pump, PSI-Darsa사의 detector를 사용하였다. cathode-luminescence(CL)측정은 상온에서 여러 시료를 장착할 수 있는 홀더에 형광시료를 담아 10^{-7} torr의 고진공 상태를 만든 후 CL 스펙트로미터를 사용하여 행하였다. 5 kV, 1 uA를 가하여 생긴 열전자로 시료를 여기시켜 발광된 빛을 집광하여 광학 필터를 통과시킨 후 Detector로 측정하여 CL 스펙트럼을 얻었다.

3. 결과 및 고찰

그림 1, 2 및 3은 2 mol%의 Tb^{3+} 와 Excess B_2O_3 을 각각 5, 10 및 15 mol% 첨가한 InBO_3 를 $1100^\circ\text{C} \sim 1400^\circ\text{C}$ 으로 4시간 열처리한 후 측정한 X-ray 회절 패턴이다. 미반응 In_2O_3 의 Peak를 제외하고는 모든 Peak들은 InBO_3 로 indexing된다. 미반응 In_2O_3 Peak의 크기는 Excess B_2O_3 와 열처

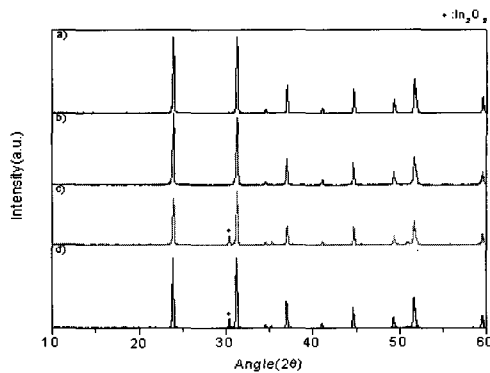


그림 2. $\text{InBO}_3 + 10 \text{ mol\%B}_2\text{O}_3 : 2 \text{ mol\%Tb}$ 을 (a) 1100°C , (b) 1200°C , (c) 1300°C , (d) 1400°C 에서 4시간 열처리한 시료의 x-선 회절 패턴.

Fig. 2. X-ray diffraction patterns of $\text{InBO}_3 + 10 \text{ mol\%B}_2\text{O}_3 : 2 \text{ mol\%Tb}$ fired at (a) 1100°C , (b) 1200°C , (c) 1300°C , (d) 1400°C for 4 hrs.

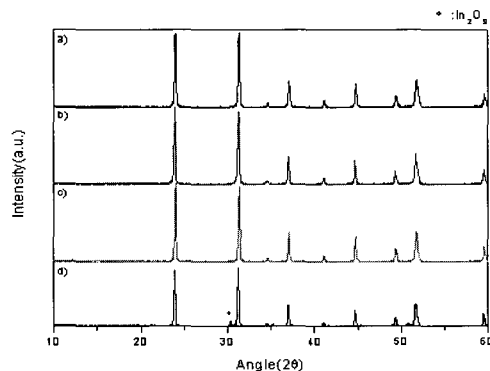


그림 3. $\text{InBO}_3 + 15 \text{ mol\%B}_2\text{O}_3 : 2 \text{ mol\%Tb}$ 을 (a) 1100°C , (b) 1200°C , (c) 1300°C , (d) 1400°C 에서 4시간 열처리한 시료의 x-선 회절 패턴.

Fig. 3. X-ray diffraction patterns of $\text{InBO}_3 + 15 \text{ mol\%B}_2\text{O}_3 : 2 \text{ mol\%Tb}$ fired at (a) 1100°C , (b) 1200°C , (c) 1300°C , (d) 1400°C for 4 hrs.

리 온도에 따라 달랐다. Excess B_2O_3 가 5 mol% 첨가된 경우(그림 1), 1100°C 에서 열처리한 시료에 서는 In_2O_3 Peak이 관찰되지 않았으나 1200°C 이상에서는 이 Peak이 열처리 온도에 따라 증가하였다.

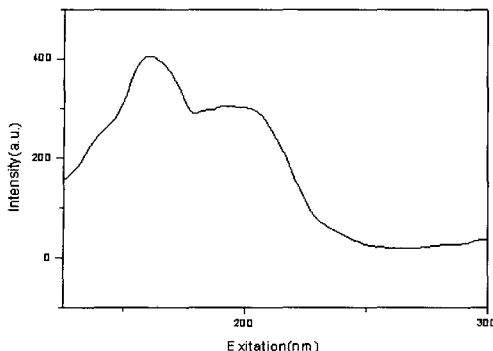


그림 4. $\text{InBO}_3 + 5 \text{ mol\%B}_2\text{O}_3 : 2 \text{ mol\%Tb}$ 을 1200°C 에서 4시간 열처리한 시료의 VUV 여기 스펙트럼.

Fig. 4. The vacuum UV excitation spectrum of $\text{InBO}_3 + 5 \text{ mol\%B}_2\text{O}_3 : 2 \text{ mol\%Tb}$ fired at 1200°C for 4 hrs.

Excess B_2O_3 가 10 mol% 첨가되었을 때는(그림 2) In_2O_3 Peak이 1300°C 이상에서 관찰되었으며 첨가량이 15 mol%였을 때는(그림 3) 1400°C 이상에서만 매우 약한 In_2O_3 Peak이 관찰되었다. 열처리한 시료에서 In_2O_3 Peak이 관찰되는 것은 열처리 중에 B_2O_3 의 증발로 인한 손실이 생겼기 때문으로 생각된다. 또한 In_2O_3 Peak이 보인 시료는 약간 퇴색되어 노란색을 띠고 있었으며 이런 시료들은 모두 발광세기가 낮았다.

그림 4, 5, 6 및 7은 2 mol%의 Tb^{3+} 와 Excess B_2O_3 를 각각 5, 10 및 15 mol% 첨가한 InBO_3 를 $1100^\circ\text{C} \sim 1400^\circ\text{C}$ 으로 4시간 열처리한 후 측정한 VUV PL 스펙트럼이다. VUV excitation 스펙트럼(그림 4)에서는 두 개의 밴드가 관찰되었다.

160 nm 근방의 폭 넓은 밴드는 InBO_3 의 흡수에 의한 것이고, 200 nm 근방의 다른 밴드는 Tb^{3+} ion의 $4f^8 \rightarrow 4f^75d$ 천이에 의한 것으로 생각된다 [9,10]. 조성과 열처리 조건이 다른 형광체들도 모두 이와 유사한 excitation 스펙트럼을 보였다. 147 nm(PDP 여기 광장)로 여기 시켰을 때 발광 스펙트럼에서는 489 nm, 551 nm, 582 nm 및 620 nm에서 4개의 Peak이 관찰되었으며, 이들은 각각 Tb^{3+} ion의 $^5D_4 \rightarrow ^7F_6$, $^5D_4 \rightarrow ^7F_5$, $^5D_4 \rightarrow ^7F_4$ 및 $^5D_4 \rightarrow ^7F_3$, 천이에 의한 것이다[5,9-11]. 5 mol%의 Excess B_2O_3 가 첨가된 경우(그림 5) 저온(1100°C 와 1200°C)에서 열처리한 시료가 고온(1300°C 와 1400°C)에서 열처리한 시료보다 높은 발광 세기를 보였다. 이러한 결과는 X-선 분석에서도 보았듯이

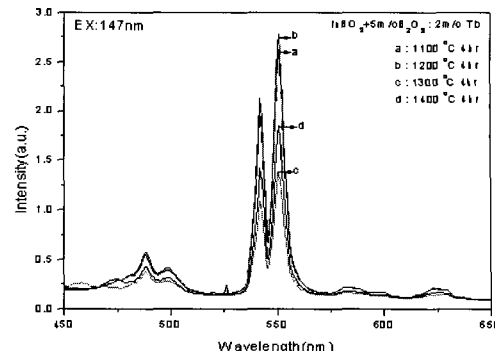


그림 5. $\text{InBO}_3 + 5 \text{ mol\%B}_2\text{O}_3 : 2 \text{ mol\%Tb}$ 을 다양한 온도에서 4시간 열처리한 시료의 PL 스펙트럼.

Fig. 5. PL spectra of $\text{InBO}_3 + 5 \text{ mol\%B}_2\text{O}_3 : 2 \text{ mol\%Tb}$ fired at different temperatures for 4 hrs.

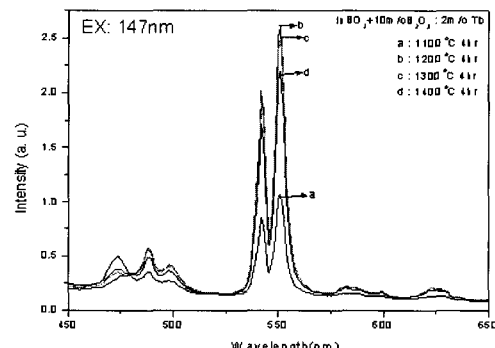


그림 6. $\text{InBO}_3 + 10 \text{ mol\%B}_2\text{O}_3 : 2 \text{ mol\%Tb}$ 을 다양한 온도에서 4시간 열처리한 시료의 PL 스펙트럼.

Fig. 6. PL spectra of $\text{InBO}_3 + 10 \text{ mol\%B}_2\text{O}_3 : 2 \text{ mol\%Tb}$ fired at different temperatures for 4 hrs.

고온에서 열처리하는 과정 중에 일어나는 B_2O_3 의 손실로 인해서 생긴 잔류 In_2O_3 에 기인하는 것으로 생각된다. 즉, 이 잔류 In_2O_3 는 청록색 영역의 빛을 흡수하여 녹색 발광세기를 감소시키는 것으로 생각된다.

10 mol% Excess B_2O_3 가 첨가된 시료(그림 6)는 1400°C 에서 열처리 하였을 때 발광세기가 1200°C 와 1300°C 에서 열처리 하였을 때보다 낮았으며, 이 경우에도 잔류 In_2O_3 가 있어서 발광세기가 낮아진 것으로 생각된다.

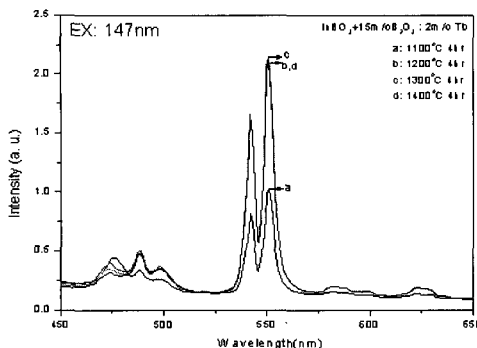


그림 7. InBO₃+15 mol% B₂O₃:2 mol% Tb을 다양한 온도에서 4시간 열처리한 시료의 PL 스펙트럼.

Fig. 7. PL spectra of InBO₃+15 mol% B₂O₃:2 mol% Tb fired at different temperatures for 4 hrs.

표 1. InBO₃+10 mol% B₂O₃:2 mol% Tb을 1250 °C에서 4시간 열처리한 시료와 ZnS:Cu,Cl CRT 녹색 형광체의 CL 특성.

Table 1. CL characteristics of InBO₃+10 mol% B₂O₃:2 mol% Tb, fired at 1250 °C for 4 hrs and ZnS:Cu,Cl(CRT phosphor).

Sample	CIE x	CIE y	상대 휘도
ZnS:Cu,Cl	0.2904	0.6159	100
InBO ₃ +10 mol% B ₂ O ₃ :2 mol% Tb	0.3307	0.622	47

15 mol% Excess B₂O₃를 첨가하였을 때는(그림 7) 1100 °C에서 열처리한 시료를 제외하고는 모두 비슷한 발광세기를 보였다. 한편, 1100 °C에서 열처리한 시료가 낮은 발광세기를 보이는 것은 Excess B₂O₃양이 너무 많았기 때문인 것으로 생각된다.

그림 8과 표 1은 InBO₃+10 mol% B₂O₃:2 mol% Tb을 1250 °C에서 4시간 동안 열처리한 시료의 CL특성을 측정한 결과이며 reference로 사용한 형광체는 상용 CRT 녹색 형광체인 ZnS:Cu,Cl이다. 이 CL스펙트럼은 앞에서 본 PL스펙트럼과 차이가 없었으며, 색 좌표는 x=0.3321, y=0.6205였으며 휘도는 reference 대비 47 %였다.

그림 9과 표 2는 InBO₃+10 mol% B₂O₃:2 mol% Tb을 1250 °C에서 4시간 동안 열처리한 시료의 VUV PL 특성을 측정한 결과이다. 여기서 사용한 reference 형광체는 상용 PDP 형광체인 YBO₃:Tb이다. 색 좌표는 x=0.3246, y=0.602였으며, 휘도는 reference 대비 98 %로 매우 우수한 특성을 보였다.

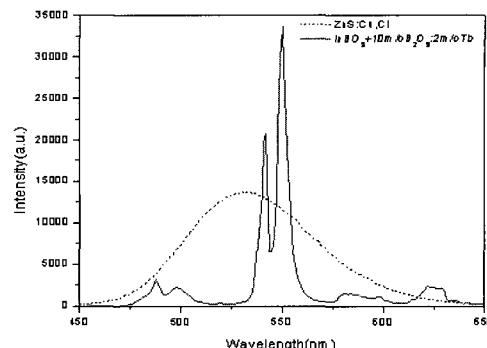


그림 8. InBO₃+10 mol% B₂O₃:2 mol% Tb을 1250 °C에서 4시간 열처리한 시료와 ZnS:Cu,Cl (CRT 녹색 형광체)의 CL 스펙트럼.

Fig. 8. CL spectra of InBO₃+10 mol% B₂O₃:2 mol% Tb fired at 1250 °C for 4 hrs and ZnS:Cu,Cl(CRT green phosphor).

표 2. InBO₃+10 mol% B₂O₃:2 mol% Tb을 1250 °C에서 4시간 열처리한 시료와 YBO₃:Tb PDP 녹색 형광체의 VUV PL 특성.

Table 2. VUV PL characteristics of InBO₃+10 mol% B₂O₃:2 mol% Tb fired at 1250 °C for 4 hrs and YBO₃:Tb(PDP phosphor).

Sample	CIE x	CIE y	상대 휘도
YBO ₃ :Tb	0.3443	0.5818	100
InBO ₃ +10 mol% B ₂ O ₃ :2 mol% Tb	0.3324	0.6181	98

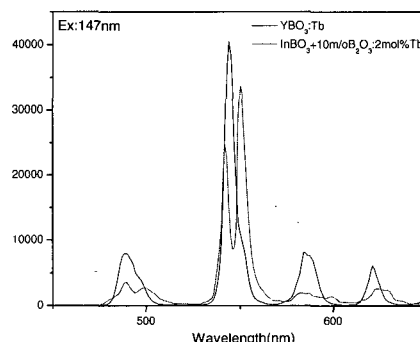


그림 9. InBO₃+10 mol% B₂O₃:2 mol% Tb을 1250 °C에서 4시간 열처리한 시료와 YBO₃:Tb PDP 녹색 형광체의 VUV PL 스펙트럼.

Fig. 9. VUV PL spectra of InBO₃+10 mol% B₂O₃:2 mol% Tb fired at 1250 °C for 4 hrs and YBO₃:Tb(PDP green phosphor).

4. 결 론

Tb^{3+} 이 activator인 $InBO_3$ 형광체는 초기의 조성과 열처리 조건에 따라 다른 발광 세기를 보였다. X-ray와 발광 특성 측정 결과를 종합해 보면, 이는 열처리 과정 중에 B_2O_3 의 증발 손실로 인해서 합성된 후 반응하지 않고 남아있는 In_2O_3 의 영향을 받는 것으로 생각된다. 잔류 In_2O_3 가 있는 시료는 In_2O_3 가 남아있지 않은 시료보다 낮은 발광 세기를 보였다. 초기 조성이 $InBO_3:10 mol\%B_2O_3:2 mol\%Tb$ 이고 $1250^{\circ}C$ 에서 합성한 형광체에서 매우 우수한 VUV PL과 CL특성을 얻었다.

참고 문헌

- [1] Optical Characteristics of CRT Screens. JEDEC Publications No 16-C, Washington, 1975.
- [2] Matsuda, N., Tamatani, M., Tetuishi, Y., and Higuchi, K., Proc. Japan Display '86, p. 152, 1986.
- [3] Verstegen J. M. P. J., "A survey of a group of phosphors, based on hexagonal aluminate and gallate host lattices", J. Electrochem. Soc. Vol. 121, p. 1623, 1974.
- [4] Linz A, Jenssen H P., Gabbe D. R., Castleberry D., and Douma M. H., ONR Research Technical Report, Contract N00014-67-A-0204-0044, Washington, 1974.
- [5] D. J. Robbins, B. Cockayne, B. Lent, and J. L. Glasper, "The mechanism of ${}^5D_3 - {}^5D_4$ cross relaxation in $Y_3Al_5O_{12}:Tb^{3+}$ ", Solid State Commun., Vol. 20, p. 673, 1976.
- [6] G. Blasse and B. C. Grabmaier, Luminescent Materials, 1994.
- [7] T. Welker, "Recent developments on phosphors for fluorescent lamps and cathode-ray tubes", J. Luminescence 48&49, p. 49, 1991.
- [8] S. Shinoya and W. M. Yen, Phosphor Handbook, Vol. 185, p. 194, 1998.
- [9] G. Wakefield, H. A. Keron, P. J. Dobson, and J. L. Hutchison, "Structural and optical properties of terbium oxide nanoparticle", J. Phys. Chem. Sol., Vol. 60, p. 503, 1999.
- [10] W. T. Carnell, P. R. Fields, and K. Rajnak, "Electronic energy levels of the trivalent lanthanide aquo ions. III. Tb^{3+} ", J. Chem. Phys., Vol. 49, p. 4447, 1968.
- [11] P. A. M. Berdowski, M. J. J. Lammers, and G. Blasse, " ${}^5D_3 - {}^5D_4$ cross relaxation of Tb^{3+} in α -GdO", Phys. Lett., Vol. 113, p. 387, 1985.